[1] Гришина Н. В., Тихонравов А. В.//Опт. и спектр. 1985. 58, № 1. С. 192.

Поступила в редакцию 25.04.88

ВЕСТН. МОСК. УН-ТА. СЕР. 3, ФИЗИКА. АСТРОНОМИЯ. 1989. Т. 30, № 1

#### АКУСТИКА И МОЛЕКУЛЯРНАЯ ФИЗИКА

УДК 547.962:538.955

## ВРАЩАТЕЛЬНОЕ ТРЕНИЕ БИОПОЛИМЕРОВ В РАСТВОРЕ

В. П. Денисов, В. В. Мигулин, Ю. М. Петрусевич, О. П. Ревокатов

(кафедра физики низких температур)

Экспериментально обнаружено сильное влияние электростатических взаимодействий белок — вода на вязкость растворов биополимеров и время корреляции вращательного движения макромолекул. Исследована связь между этими параметрами.

Введение. Исследование динамики макромолекул биополимеров в раствореимеет большое значение для определения механизмов их взаимодействия с растворителем [н]. Такое взаимодействие во многом определяет кинетические характеристики растворов макромолекул. В связи с этим представляет интерес изучение влияния свойств биополимеров, определяющих степень их взаимодействия со средой, наих молекулярную подвижность.

Важным свойством биополимеров в водных растворах является наличие у них большого электрического заряда, энергия взаимодействия которого с дипольным моментом молекул воды может превышать тепловую. Это взаимодействие можно изучать, измеряя зависимость вязкости раствора и времен ЯМР-релаксации макромолекул при различных концентрациях и онов водорода (рН) в растворе, что позволяет определять связь макроскопических и молекулярных параметров между собой, а также их зависимость от заряда белка.

методика эксперимента. В работе измерялись времена спин-решеточной  $T_1$  и спин-спиновой  $T_2$  ЯМР-релаксации протонов белков в растворе  $D_2O$  неселективным методом. Релаксационная кривая протонов белка, измеренная таким способом, состоит из трех компонент с интенсивностями 40%, 30 и 30%, которые соответствуют вкладам от протонов  $CH_2$ -, CH- и  $CH_3$ -групп белка. Известно [1, 2], что время релаксации большинства этих протонов (по крайней мере  $CH_2$ - и CH-групп) определяется вращением макромолекулы как целого.

Для связи времен релаксации с временем вращательной корреляции макромолекул  $\tau$  в данном случае можно взять соотношения Соломона—Бломбергена [3], в которых величина второго момента усреднена по всем протонам белка. При этом отношение  $T_1/T_2$  зависит только от  $x = (\omega \tau)^2$ , где  $\omega$  — частота ЯМР, и равно

$$\frac{T_1}{T_2} = \frac{12x^2 + 37x + 10}{2(8x + 5)}.$$
 (1)

В области  $\omega \tau > 1$  уравнение (1) позволяет однозначно определять  $\tau$  по экспечиом из измерением T и T

риментально измеренным  $T_1$  и  $T_2$ .

Скорость переориентации белковой макромолекулы в растворе определяется внутренним треннем, которое она испытывает при вращении в вязкой среде. При: этом время вращательной корреляции связано с коэффициентом вращательного трения С соотношением Дебая—Эйнштейна

$$\tau = \zeta/(6 \kappa T). \tag{2}$$

В свою очередь величина  $\zeta$  определяет увеличение макроскопической вязкости: растворов  $\eta$  по отношению к вязкости чистой воды  $\eta_0$  [4]:

$$\eta = \eta_0 + \xi v N_A c / (6 M), \tag{3}$$

где v — коэффициент, учитывающий форму макромолекулы,  $N_A$  — число Авогадро<sub>v</sub>.

c — концентрация раствора (в г/см $^3$ ), M — молекулярная масса белка. Таким образом, измерение макроскопической вязкости также дает возможность оценить величину т для белков в растворе:

$$\tau = \frac{\eta_0 \left[ \eta \right] \cdot M}{v \ kT N_A},\tag{4}$$

где [ŋ] — характеристическая вязкость раствора:

$$[\eta[=\lim_{c\to 0}\frac{\eta-\eta_0}{c\eta_0}.$$

Для проведения измерений нами использовались растворы белка БСА фирмы «Serva» в D<sub>2</sub>O и дистиллированной H<sub>2</sub>O. Методика приготовления образцов с различными значениями рН описана в работе [5]. Растворы обладали малой

силой, при этом экранирование зарядов белка ионами несущественно.

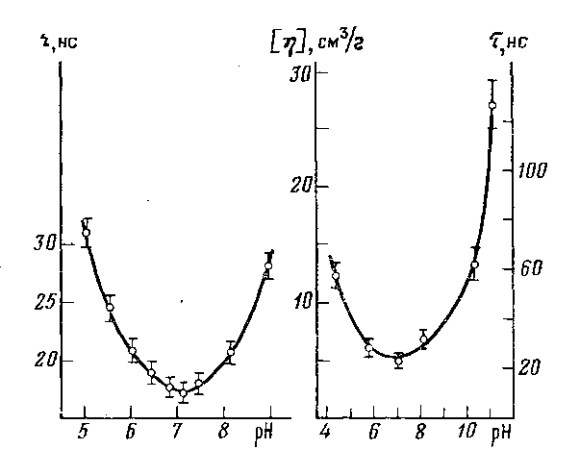
Измерение времен релаксации проводилось на ЯМР-релаксометре «Minispec PC-20» фирмы «Bruker» на частоте резонанса протонов 20 МГд при T=40°С. Для измерения  $T_1$  использовался метод «инверсия—восстановление», для  $T_2$ —метод Карра—Парселла—Мейбума—Гилла [6]. Времена релаксации, определяемые вращением макромолекулы как целого, находились из релаксационных кривых по методу работы [1]. Точность определения  $T_1$  и  $T_2$  составляла при этом  $\sim 5\%$ .

Измерения макроскопической вязкости растворов проводились при помощи разработанного авторами вибрационного резонансного вискозиметра, позволяющего измерять  $\eta$  в диапазоне (0,5-3) сП с точностью 0,01 сП. Значение характеристической

вязкости находилось по наклону зависимости  $\eta = \eta(c)$  в пределе  $c \to 0$ . Результаты эксперимента и обсуждение. На рис. 1 приведена зависимость времени корреляции, определенного с помощью (1) по данным измерений ЯМР-релаксации  $T_1$  и  $T_2$ , от параметра pH раствора. Полученная pH-зависимость характеристической вязкости приведена на рис. 2. Измеренная ранее [4] величина [ $\eta$ ] равна 3,7 см³/г, что близко к значению [ $\eta$ ] в точке минимума нашей кривой.

Рис. 1. Зависимость времени вращательной корреляции макромолекул белка по данным ЯМР-релаксации (формула (1)) от параметра рН для 5%-го раствора БСА в  $D_2$ О при  $T\!=\!40^{\circ}\mathrm{C}$ 

Рис. 2. Зависимость характеристической вязкости [ $\eta$ ] белка БСА в  $H_2O$  при  $T=25^{\circ}C$  от параметра рН. На правой оси отложено время вращательной корреляции, соответствующее [η] согласно формуле (4), где принято v=6



Из рис. 1 и 2 следует, что отношение т/[η] практически постоянно во всем измеренном диапазоне рН, что подтверждает справедливость формулы (2). Следует отметить, что минимумы на рис. 1 и 2 не совпадают с изоэлектрической точкой исследуемого белка (рН 4,8) в отличие от времени трансляционной корреляции этих макромолекул, которое имеет минимум в изоэлектрической точке [7].

Полученную сильную зависимость т и [η] от рН можно объяснить, если пред-положить, что взаимодействие зарядов белка с водой приводит к уменьшению подвижности близлежащих к поверхности белка слоев воды в результате ее электрической поляризации. Это вызывает увеличение коэффициента вращательного трения макромолекулы ζ, а следовательно, и величин τ и [η] в соответствии с формулами (2) и (3).

Таким образом, особенностью вращательного молекулярного трения в растворах биополимеров является его сильная зависимость от электростатических взаимодейст-

вий макромолекул с растворителем.

## СПИСОК ЛИТЕРАТУРЫ

[1] Аксенов С. И. Связанная вода в дисперсных системах. М., 1980. [2] Федотов В. Д.//Молекулярная биология. 1983. 17. С. 493. [3] Абрагам А. Ядерный магнетизм. М., 1963. [4] Цветков В. Н., Эскин В. Е., Френкель С. Я. Структура макромолекул в растворах. М., 1964. [5] Вострикова Н. Г., Денисов В. П., Петрусевич Ю. М., Ревокатов О. П.//Вестн. Моск. ун-та. Физ. Астрон. 1986. 27, № 5. С. 76. [6] Вашман А. А., Пронин И. С. Ядерная магнитная релаксационная спектроскопия. М., 1986. [7] Тенфорд Ч. Физическая химия полимеров. М., 1965.

Поступила в редакцию 06.06.88

ВЕСТН. МОСК, УН-ТА. СЕР. 3, ФИЗИКА. АСТРОНОМИЯ. 1989. Т. 30, № 1

### ФИЗИКА ТВЕРДОГО ТЕЛА

УДК 621.315.592

# о влиянии электрического поля на проводимость пленок a-Si: н с большим содержанием водорода

И. А. Курова, Е. Н. Понарина

(кафедра физики полупроводников)

Излагаются результаты исследования закономерностей обнаруженного в пленках  $a ext{-Si}: H$  увеличения проводимости в электрических полях E > 20 B/cm. Предложена модель эффекта.

Ранее нами сообщалось о наблюдении повышения проводимости пленки a-Si: Н с большим содержанием водорода и планарным расположением контактов в слабых электрических полях [1]. Было сделано предположение о том, что эффект обусловлен монополярной инжекцией, возникающей вследствие образования двойного слоя у катода в результате дрейфа нонов водорода. В настоящей работе приводятся результаты дополнительных исследований и модель этого эффекта.

Исследовались пленки a-Si: H толщиной 0,5—0,7 мкм, выращенные на стеклянных подложках в ВЧ тлеющем разряде и содержащие 20—30 ат. % водорода. Концентрация водорода рассчитывалась по поглощению пленки в ИК области спектра [2]. Ширина запрещенной зоны определялась экстраполицей до пересечения с осью абсцисс линейного участка зависимости величины  $(a\hbar\omega)^{1/2}$  от энергии фотонов  $\hbar\omega$  и составляла для исследованных пленок 1,8—1,9 эВ. Измерения проводились в вакууме порядка  $10^{-6}$  мм рт. ст. на образцах с планарным расположением контактов

из ÅÍ на расстоянии L=0,5-0,8 мм.

Ha рис. 1 показаны температурные зависимости темнового тока  $j_{\pi}(T)$  одной из исследованных пленок после отжига при 440 К и после предварительного освещения белым светом в течение разного времени. Кривые 1, 2, 3 соответствуют среднему электрическому полю в пленке  $E=v/L \leqslant 20$  В/см (состояние I). Для отожженных пленок энергия активации  $E_{\sigma}$  составляла около 0,67 эВ (кривая 1), т. е. была близка к обычным значениям энергии активации проводимости нелегированных пленок  $a ext{-Si}$ : :Н после отжига. Видно, что темновой ток пленок уменьшается, а  $E_\sigma$  возрастает до 0,87 эВ после предварительного освещения по мере увеличения его длительности (кривые 2, 3). Таким образом, наблюдается обычный эффект Стеблера—Вронского. При средней напряженности поля  $E{>}20~$  В/см пленка переходит в стационарное состояние (II), соответствующее большему значению тока. Время перехода зависит от температуры пленки. Поскольку при низких температурах времена перехода в состояние II очень велики, то измерение температурных зависимостей стационарного темнового тока при разных напряженностях поля проводилось после перевода пленки в состояние II при высоких температурах (кривые 4-6). Все приведенные зависимости  $j_{7}(T)$  воспроизводятся при многократном последующем нагревании и охлаждении пленки при постоянном напряжении. Это указывает на воспроизводимость и обратимость эффекта. Из рис. 1 видно, что в состоянии ІІ ток тоже экспоненциально зависит от температуры. При этом энергия активации  $E_{\sigma}$ , соответствующая данному напряжению, уменьшается до 0,3 эВ по мере его увеличения. При уменьшении напряжения до  $E \leqslant 20$  В/см малая проводимость восстанавливается (переход в состояние I).